

Trabalho computacional: Cálculo de campos elétrico e magnético

José Augusto dos Santos
Departamento de Engenharia Elétrica - DEPEL
Universidade federal de São João del rei
São João del rei, Minas Gerais
jaeletricasantos@gmail.com

Lucas Xavier de Moraes
Departamento de Engenharia Elétrica - DEPEL
Universidade federal de São João del rei
São João del rei, Minas Gerais
lucas.xavier.de.morais@gmail.com

Resumo — Este relatório trata da implementação de ferramentas computacionais, com a finalidade de facilitar cálculos envolvidos na teoria eletromagnética, que serão utilizadas para a resolução dos exercícios proposto.

Palavras-chave — campo elétrico, campo magnético, implementação, eletromagnetismo

I. INTRODUÇÃO

Desde as civilizações antigas com a descoberta do magnetismo, passando pelo estudo e desenvolvimento da eletricidade, até que em 1873 quando pelas mãos de James Clerk Maxwell elegantemente foram criadas as equações gerais do eletromagnetismo, gerando grande transformações incalculáveis ao bem-estar de toda população.

Contudo resolução de diversos problemas de conceitos fundamentais se demonstra menos complexo com a utilização de softwares. Serão abordadas as leis de coulomb, de Ampère e Biot-Savart, implementando-as a fim de obter tais resultados de forma precisa e rápida.

II. DESENVOLVIMENTO TEÓRICO DOS EXERCÍCIOS

Para a elucidação dos exercícios propostos esboça-se o conceito físico-matemático pontualmente utilizado em cada caso, seja analítica ou através de implementações numéricas.

A. Campo elétrico gerado no eixo central de um anel carregado uniformemente (o anel encontra-se centrado na origem e em $z = 0$).

Neste caso de um anel carregado apresenta uma distribuição de carga linear, ou seja, ρ_L (C/m) o campo elétrico sofre influência da soma de cada elemento de carga dQ que é definido como:

$$dQ = \rho_L dl \rightarrow Q = \int_L \rho_L dl \quad (1)$$

Pela lei de Coulomb o campo elétrico em relação a uma carga Q em determina ponto é:

$$E = \frac{Q}{4\pi\epsilon_0 R^2} a_R \quad (2)$$

Substituindo a equação (1) na equação (2) integrando:

$$E = \int \frac{\rho_L dl}{4\pi\epsilon_0 R^2} a_R \quad (3)$$

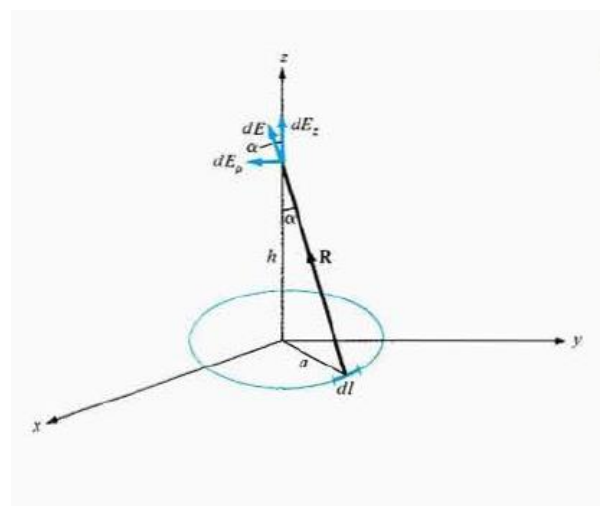


Fig. 1. Sistema de Coordenadas do anel carregado. [1]

Utilizando coordenadas cilíndricas para facilitar os cálculos tem-se que:

$$dl = a d\varphi, \text{ onde } R = a(-a_\rho) + h a_z$$

$$R = |\mathbf{R}| = [a^2 + h^2]^{\frac{1}{2}}, a_R = \frac{\mathbf{R}}{R}$$

$$\frac{a_R}{R^2} = \frac{\mathbf{R}}{|\mathbf{R}|^3} = \frac{a(-a_\rho) + h a_z}{[a^2 + h^2]^{\frac{3}{2}}} \quad (4)$$

Substituindo a equação (4) na equação (3):

$$E = \frac{\rho_L}{4\pi\epsilon_0} \int_0^{2\pi} \frac{(-a a_\rho + h a_z)}{[a^2 + h^2]^{\frac{3}{2}}} a d\varphi \quad (5)$$

Como há simetria em a_ρ as contribuições ao campo se anulam, portanto, teremos contribuição apenas ao longo de z .

$$E = \frac{\rho_L a h a_z}{4\pi\epsilon_0[a^2 + h^2]^{3/2}} \int_0^{2\pi} d\varphi \quad (6)$$

$$E = \frac{\rho_L a h a_z}{2\epsilon_0[a^2 + h^2]^{3/2}} \quad (7)$$

Como o campo é calculado no eixo central do anel tem-se:

$$E(0,0,h) = \frac{\rho_L a h}{2\epsilon_0[a^2 + h^2]^{3/2}} \mathbf{a}_z \quad (8)$$

B. *Campo elétrico, em qualquer ponto do espaço, gerado por um anel (o anel encontra-se centrado na origem e em $z = 0$).*

Definindo o anel de raio r como:

$$(\varphi) = r\cos(\varphi)\hat{\mathbf{a}}_x + r\sin(\varphi)\hat{\mathbf{a}}_y \quad \forall \{0 \leq \varphi \leq 2\pi\} \quad (9)$$

$$\mathbf{P} = x\hat{\mathbf{a}}_x + y\hat{\mathbf{a}}_y + z\hat{\mathbf{a}}_z \quad (10)$$

O campo elétrico no ponto P, é definido como:

$$E(x,y,z) = \int \frac{\rho dl}{4\pi\epsilon_0 R^3} \vec{R} \quad (11)$$

O vetor \mathbf{R} é o vetor do anel no ponto P convertendo em coordenadas polar tem-se:

$$\vec{R} = (x - r\cos(\varphi))\hat{\mathbf{a}}_x + (y - r\sin(\varphi))\hat{\mathbf{a}}_y + z\hat{\mathbf{a}}_z \quad (12)$$

$\forall \{0 \leq \varphi \leq 2\pi\}$

A equação do campo magnético no anel:

$$E = \int_0^{2\pi} \left(\frac{\rho r}{4\pi\epsilon_0 R^3} (x - r\cos\varphi)\hat{\mathbf{a}}_x + \frac{\rho r}{4\pi\epsilon_0 R^3} (y - r\sin\varphi)\hat{\mathbf{a}}_y + \frac{\rho r z}{4\pi\epsilon_0 R^3} \hat{\mathbf{a}}_z \right) d\varphi \quad (13)$$

C. *Campo magnético gerado por uma linha filamental infinitamente longa localizada em $x = y = 0$.*

Inicia-se definido um sistema de coordenadas cilíndricas com o eixo da linha filamental coincidindo com o eixo z . Como a distribuição de corrente é simétrica o vetor densidade de corrente se mantém mesmo que haja rotação da linha filamental portanto não depende da variável azimutal. A translação ao longo do eixo da linha filamental também não altera as componentes do campo uma vez que é considerada

infinitamente longa. O campo dependerá apenas da coordenada r do sistema sendo descrito como:

$$\vec{B} = B_r(r)\hat{\mathbf{a}}_r + B_\varphi(r)\hat{\mathbf{a}}_\varphi + B_z(r)\hat{\mathbf{a}}_z \quad (14)$$

Aplicando a lei de Gauss para o magnetismo terá que componente radial do vetor \vec{B} é nula $B_r(r) = 0$ e aplicando a lei de ampere a componente axial de \vec{B} é constante como a distribuição é localizada e finita em $r = 0$, e o campo tende a zero com $r \rightarrow \infty$, a componente axial deve ser nula em todo o espaço $B_z(r) = 0$ que seria possível apenas se houvesse uma distribuição com corrente infinita, situação fisicamente impossível.

Pode-se afirmar que:

$$\vec{B} = B_\varphi(r)\hat{\mathbf{a}}_\varphi \quad (15)$$

Usando a lei de Ampère para um caminho por sobre o qual o vetor \vec{B} seja constante.

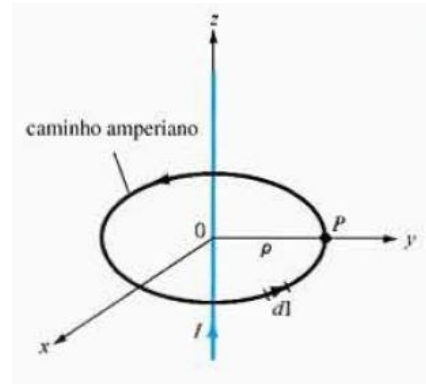


Fig. 2. Caminha amperiano para cálculo do campo magnético. [1]

O caminho é uma circunferência de raio r , envolvendo a distribuição de corrente.

$$\oint_C \vec{B} \cdot d\vec{l} = \mu_0 \int_S \vec{J} \cdot d\vec{S} \quad (16)$$

$$d\vec{l} = r d\varphi' \hat{\mathbf{a}}_\varphi \quad [0 \leq \varphi' \leq 2\pi] \quad (17)$$

$$\int_0^{2\pi} B_\varphi(r) r d\varphi' = \mu_0 I \Rightarrow B_\varphi(r) r \int_0^{2\pi} d\varphi'$$

$$B_\varphi(r) = \frac{\mu_0 I}{2\pi r}$$

$$\vec{B} = \frac{\mu_0 I}{2\pi r} \hat{\mathbf{a}}_\varphi \quad (18)$$

D. *Campo magnético gerado por uma linha filamental, representada por um segmento de reta arbitrário.*

O segmento de reta arbitrário será definido como dois pontos (A e B), inseridos pelo usuário. Os pontos A e B serão definidos como:

$$A = x_a \hat{\mathbf{a}}_x + y_a \hat{\mathbf{a}}_y + z_a \hat{\mathbf{a}}_z \quad (19)$$

$$B = x_b \hat{\mathbf{a}}_x + y_b \hat{\mathbf{a}}_y + z_b \hat{\mathbf{a}}_z \quad (20)$$

O ponto P onde será calculado o campo magnético será definido como:

$$P = x_p \hat{a}_x + y_p \hat{a}_y + z_p \hat{a}_z \quad (21)$$

Pela lei de Biot-Savart, o campo magnético é definido como:

$$d\vec{B} = \frac{\mu_0 I}{4\pi\epsilon_0 R^3} \cdot d\vec{L} \times \vec{R} \quad (22)$$

O vetor $d\vec{L}$ representa o caminho por onde será calculado o campo e o vetor R é o vetor definido entre o ponto P e o caminho. Temos que:

$$L(t) = A + t(B - A) \quad (23)$$

$$\frac{d\vec{L}}{dt} = B - A$$

$$d\vec{L} = (B - A)dt$$

$$R = P - d\vec{L} = P - A - t(B - A)$$

$$d\vec{L} \times \vec{R} = \begin{vmatrix} \hat{i} & \hat{j} & \hat{k} \\ xdl & ydl & zdl \\ xR & yR & zR \end{vmatrix}$$

$$(d\vec{L} \times \vec{R})\hat{a}_x = y_b z_p - y_b z_a - y_b t(z_b - z_a) - y_a z_p + y_a z_a + y_a t(z_b - z_a) - z_b y_p + z_b y_a + z_b t(y_b - y_a) + z_a y_p - z_a y_a - z_a t(y_b - y_a)$$

$$(d\vec{L} \times \vec{R})\hat{a}_x = y_b(z_p - z_a - t(z_b - z_a)) - y_a(z_p - t(z_b - z_a)) + z_a(y_p - t(y_b - y_a)) - z_b(y_p - y_a - t(y_b - y_a)) \quad (24)$$

As componentes \hat{a}_y e \hat{a}_z do campo são similares. Assim, é possível definir o campo magnético como:

$$\vec{B} = \int_0^1 \left(\left(\frac{\mu_0 I}{4\pi R^3} \right) \left(y_b(z_p - z_a - t(z_b - z_a)) - y_a(z_p - t(z_b - z_a)) + z_a(y_p - t(y_b - y_a)) - z_b(y_p - y_a - t(y_b - y_a)) \right) \hat{a}_x + \left(\frac{\mu_0 I}{4\pi R^3} \right) \left(z_b(x_p - x_a - t(x_b - x_a)) - z_a(x_p - t(x_b - x_a)) + x_a(z_p - t(z_b - z_a)) - x_b(z_p - z_a - t(z_b - z_a)) \right) \hat{a}_y + \left(\frac{\mu_0 I}{4\pi R^3} \right) \left(x_b(y_p - y_a - t(y_b - y_a)) - x_a(y_p - t(y_b - y_a)) + y_a(x_p - t(x_b - x_a)) - y_b(x_p - x_a - t(x_b - x_a)) \right) \hat{a}_z \right) dt \quad (25)$$

III. RESULTADOS

A partir das resoluções teóricas dos problemas, foi possível elaborar um trabalho computacional, utilizando Julia como linguagem de programação.

Para resolver os problemas "B" e "D", foi necessário um método numérico de solução de integração. Escolhida tendo como base os conhecimentos adquiridos até então no curso explora-se o método "1/3 (Um terço) de Simpson repetida".

O exercício "A" aborda o módulo, direção e sentido do campo elétrico em algum ponto do eixo central de um anel.

Já o exercício "B" propôs encontrar o módulo, direção e sentido de qualquer ponto em relação a um anel. Para a resolução deste, foi escolhido um anel de raio "r" nos planos equação (9).

É possível portanto, simular o exercício "A" ao executar o "B".

Para tanto, escolhe-se um ponto $P = 10m \hat{a}_z$, sobre um anel de raio 5m, com densidade linear de carga $-15C/m$.

Obtém o resultado do campo elétrico:

$$E = -3,0319565796607277 * 10^{10} \text{ J}$$

Logo, à 10m do eixo central de um anel de raio 5m e densidade de $-15C/m$, encontra-se um campo elétrico no eixo central, orientado ao centro do anel.

Ao simular a mesma situação para o exercício "b", obtém como resultado um vetor de campo elétrico:

$$(1.4780544049939774 * 10^{-6} \text{ J})\hat{a}_x + (4.969526387428701 * 10^{-7} \text{ J})\hat{a}_y + (-3,031956579660737 * 10^{10} \text{ J})\hat{a}_z$$

$$\text{Com módulo} = -3,031956579660737 * 10^{10} \text{ J}$$

Observa-se que devido a aproximação computacional não ser perfeita, a simulação aponta um pequeno campo nos eixos x e y. Teoricamente, impossível, pois os pontos opostos do anel geram campos que se anulam no ponto de observação. Nota-se, porém, que o campo é muito menor que o módulo do campo, e que os resultados são muito próximos, tornando a simulação válida.

O exercício "C" trata de um filamento infinito posicionado sobre o eixo "z", sendo percorrido por uma corrente I . Procura-se o módulo do campo magnético a uma distância do filamento.

O exercício "D" procura o módulo, direção e sentido do campo magnético gerado por uma linha percorrida por uma corrente em algum ponto no espaço.

Para exemplificar a eficácia do trabalho, simula-se o exercício "C" para calcular o campo magnético sobre um filamento infinito sendo percorrido por uma corrente de 1.0A a uma distância de 1.0 cm. Obtém-se:

Módulo do Campo Magnético

$$H = 2.00000000000000012 * 10^{-5} \text{ T}$$

Para simular um filamento infinito no exercício "D", com ponto inicial (0, 0, 0) ao ponto (100m, 0, 0) sendo percorrido por uma corrente de 1.0A, e calcula-se o campo no ponto

(50m, 0.01m, 0). Tem-se como resultado vetor campo magnético:

$$(0.0T)\hat{a}_x + (0.0T)\hat{a}_y + (1.999999599996986 * 10^{-5}T)\hat{a}_z$$

$$\text{Com módulo} = (1.999999599996986 * 10^{-5}T)$$

É possível então, verificar que os resultados são muito próximos.

Utilizando a lei de Biot-Savart para calcular o campo magnético sobre um filamento de comprimento finito, localizado sobre o eixo "z", com x=y=0, a uma distância d do fio, sendo percorrido por uma corrente I:

$$d\vec{B} = \frac{\mu_0 I}{4\pi\epsilon_0 R^2} \cdot d\vec{L} \times \vec{R}$$

E:

$$d\vec{L} \times \vec{R} = dx \sin \theta$$

Sendo θ o ângulo entre o ponto de observação e o fio, é possível escrever:

$$d\vec{B} = \frac{\mu_0 I}{4\pi\epsilon_0 R^2} \cdot d\vec{L} \sin \theta$$

Simulando este exemplo, tendo um filamento de comprimento 1.0 cm, sendo percorrido por uma corrente de 2.0 A, definindo o campo magnético à 1.0m do fio:

O ângulo θ pode ser calculado por:

$$\theta = \tan^{-1} \frac{1}{0,01} = 89.4^\circ$$

$$B = 1 * 10^{-7} \frac{Tm}{A} \cdot \frac{(2A * 0,01m * \sin(89.4^\circ))}{(1m)^2}$$

$$B = 2,0 * 10^{-9}T$$

Simulando o mesmo exemplo, obtêm-se, Vetor Campo Magnético:

$$(0.0T, 1.999975000468682 * 10^{-9}T, 0.0T)$$

$$\text{Com módulo} = (1.999975000468682 * 10^{-9}T)$$

É possível portanto, verificar a eficácia do trabalho computacional.

IV. CONCLUSÃO

Devido à complexidade de certos problemas sobre a teoria eletromagnética ferramentas computacionais se demonstra como uma alternativa a soluções mais rápidas preservando resultados com grande grau de aproximação reduzindo o risco de erros quando se é exigido uma solução imediata.

Com a implantação das fórmulas analíticas, obtêm-se resultados exatos, e mesmo a implementação numérica, utilizando de um método menos complexo, resulta em desvio apenas na casa de 10^{-6} um valor consideravelmente aceito, mas que deve ser observado de acordo com o problema a ser resolvido.

V. REFERÊNCIAS BIBLIOGRÁFICAS

- [1] Buck, J. A. e Hayt, W. H. Jr. Eletromagnetismo. 8ª. Ed. São Paulo: Mc Graw-Hill, 2012.
- [2] Sadiku, M. N. O. Elementos de Eletromagnetismo. 3ª. Ed. Porto Alegre: Bookman, 2004.
- [3] Tipler, Paul A. e Mosca, Gene, FÍSICA para Cientistas e Engenheiros Volume 2 Eletricidade e Magnetismo, Óptica, Ed. LTC, Rio de Janeiro, 2009.
- [4] Halliday, David, Resnick, Robert e Walker, Jearl, Fundamentos de Física Volume 3 Eletromagnetismo, Ed. LTC, Rio de Janeiro, 2007
- [5] "A Lei Biot-Savart" da OpenStax, LibreTexts é licenciado sob notset. [https://phys.libretexts.org/Bookshelves/University_Physics/Book%3A_University_Physics_\(OpenStax\)/Book%3A_University_Physics_II_-_Thermodynamics_Electricity_and_Magnetism_\(OpenStax\)/12%3A_Sources_of_Magnetic_Fields/12.02%3A_The_Biot-Savart_Law](https://phys.libretexts.org/Bookshelves/University_Physics/Book%3A_University_Physics_(OpenStax)/Book%3A_University_Physics_II_-_Thermodynamics_Electricity_and_Magnetism_(OpenStax)/12%3A_Sources_of_Magnetic_Fields/12.02%3A_The_Biot-Savart_Law)
- [6] Ruggiero, Márcia A. G. Ruggiero; Lopes, Vera L. R. Lopes. Cálculo Numérico: Aspectos Teóricos e Computacionais. 2ª Edição. Makrom Books, Pearson, São Paulo.
- [7] J. Clerk Maxwell, A Treatise on Electricity and Magnetism, 3rd ed., vol. 2. Oxford: Clarendon, 1892.